



UNIVERSITÄTS-  
BIBLIOTHEK  
PADERBORN

## **Die Mechanik fester Körper**

**Blau, Ernst**

**Hannover, 1905**

§ 28. Ermittlung des Schwerpunktes homogener Körper. Beispiele 113-  
118

---

[urn:nbn:de:hbz:466:1-76868](https://nbn-resolving.org/urn:nbn:de:hbz:466:1-76868)

Durch Rotation des Parabelstückes  $ABD$  um die  $X$ -Achse entsteht ein Paraboloid, dessen Volumen gleich dem halben Volumen des Zylinders  $CDEF$  sein muß, da die Querschnitte  $DAF$  und  $DCEF$  sich verhalten wie  $\frac{4}{3}ab : 2ab = 1 : 2$ .

Somit ergibt sich durch Anwendung der Guldinschen Regel aus

$$\frac{2}{3} ab \cdot 2\pi \cdot y_1 + \frac{1}{2} \pi b^2 a$$

$$y_1 = \frac{3}{8} b \dots \dots \dots (64a)$$

Ebenso folgt aus der Erwägung, daß das durch Rotation des Parabelstückes  $ACD$  um die  $X$ -Achse entstehende Volumen gleich  $\frac{1}{2}$  des Zylindervolumens  $\pi b^2 a$  sein muß,

$$\frac{1}{3} ab \cdot 2\pi y_2 = \frac{1}{2} \pi b^2 a \text{ und hieraus}$$

$$y_2 = \frac{3}{4} b \dots \dots \dots (64b)$$

$y_2$  ist somit zweimal so groß als  $y_1$ . — Analog läßt sich schließen, daß  $x'_1$  zweimal so groß werden wird wie  $x'_2$ . Die durch die Rotation der Parabelstücke  $ABD$  und  $ACD$  um die  $Y$ -Achse entstehenden Volumen müssen zusammen das Zylindervolumen  $\pi a^2 b$  ergeben. Es wird also

$$\frac{1}{3} ab \cdot 2\pi x'_2 + \frac{2}{3} ab \cdot 2\pi x'_1 = \pi a^2 b.$$

Beiderseits durch  $\pi ab$  gekürzt und für  $x'_1 = 2x'_2$  gesetzt, folgt

$$\frac{1}{3} \cdot 2 \cdot x'_2 + \frac{2}{3} \cdot 2 \cdot 2x'_2 = a$$

$$\frac{10}{3} x'_2 = a$$

$$x'_2 = \frac{3}{10} a \dots \dots \dots (64c)$$

Demnach  $x'_1 = \frac{3}{5} a \dots \dots \dots (64d)$

## § 28. Ermittlung des Schwerpunktes homogener Körper.

113. Schwerpunkt einer Pyramide (eines Kegels). Fig. 94.

Auflösung: Wird die Pyramide durch zur Grundfläche parallele Ebenen in sehr dünne Schichten (Dreiecke) zerlegt, so liegen deren Schwerpunkte sämtlich in der Geraden  $DM$ , welche den Schwerpunkt der Grundfläche mit der Spitze verbindet. Betrachtet man nun  $BCD$  als Grundfläche und  $A$  als Spitze der Pyramide, so muß, wenn  $N$  der Schwerpunkt des Dreieckes  $BCD$

ist, der Schwerpunkt der Pyramide auch in der Geraden  $\overline{AN}$  liegen. Er ist somit der Schnittpunkt  $S$  von  $\overline{DM}$  und  $\overline{AN}$ . Zieht man die Hilfslinie  $\overline{MN}$ , so gilt

$$\overline{EM} = \frac{1}{3} \overline{EA}$$

$$\overline{EN} = \frac{1}{3} \overline{DE}$$

Daher ist  $\overline{MN} \parallel \overline{AD}$  und es wird

$$\triangle SNM \sim \triangle SAD, \text{ somit}$$

$$\overline{MN} = \frac{1}{3} \overline{AD}$$

$$\overline{MS} = \frac{1}{3} \overline{SD}, \text{ also}$$

$$\overline{MS} = \frac{1}{4} \overline{MD}. \quad (65)$$

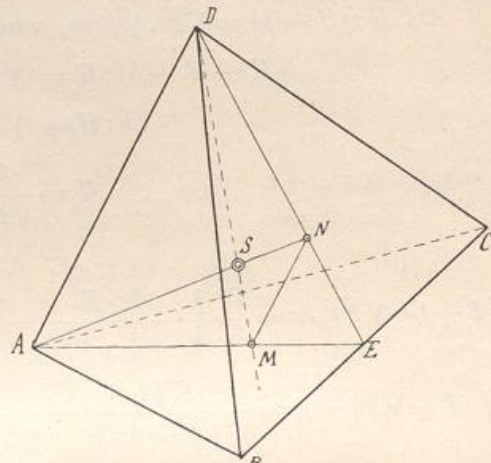


Fig. 94.

Eine vielseitige Pyramide kann durch Ebenen, welche durch die Spitze gehen, in dreiseitige Pyramiden zerlegt werden, deren Schwerpunkte sämtlich in  $\frac{1}{4}$  der Höhe, also in einer zur Grundfläche parallelen Ebene liegen. In letzterer liegt dann der Schwerpunkt der ganzen Pyramide. Daher ergibt sich das Gesetz:

„Der Schwerpunkt einer Pyramide liegt in der Geraden, welche den Schwerpunkt der Basis mit der Spitze verbindet und im ersten Viertel der Höhe.“

Dasselbe gilt vom Kegel, da derselbe als eine Pyramide mit unendlich viel Seiten aufgefaßt werden kann.

114. Schwerpunkt eines Pyramidenstumpfes, Fig. 95. Die Grundflächen sind  $F$  und  $f$ , Höhe ist  $h$ .

Auflösung: Der Inhalt des Pyramidenstumpfes ist

$$\frac{h}{3} (F + \sqrt{Ff} + f)$$

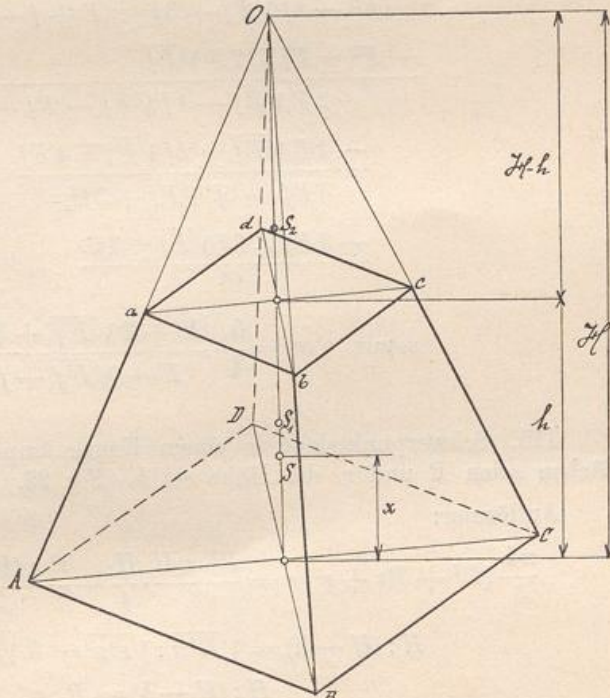


Fig. 95.

Das statische Moment des Pyramidenstumpfes in bezug auf die Grundfläche  $F$  muß gleich sein dem statischen Momente der ganzen Pyramide  $ABCDO$  weniger dem der Ergänzungspyramide  $abcdO$ . Demnach gilt



$$\pi h (R^2 + Rr + r^2) x = \frac{R^2 \pi}{4} \cdot \frac{h^2 R^2}{(R-r)^2} - r^2 \pi \left( \frac{hR}{R-r} - h \right) \left( h + \frac{\frac{hR}{R-r} - h}{4} \right)$$

$$\begin{aligned} \pi (R^2 + Rr + r^2) x &= \frac{R^4 h \pi}{4(R-r)^2} - r^2 \pi \left( \frac{R}{R-r} - 1 \right) \cdot \frac{4h + \frac{hR}{R+r} - h}{4} \\ &= \frac{h \pi}{4} \cdot \frac{R^4}{(R-r)^2} - r^2 \pi \frac{r}{R-r} \cdot \frac{4Rh - 4hr + hR - hR + rh}{4(R-r)} \\ &= \frac{h \pi}{4} \cdot \frac{R^4}{(R-r)^2} - \frac{r^3 \pi (4Rh - 3hr)}{4(R-r)^2} \\ &= \frac{h \pi}{4} \left\{ \frac{R^4 - r^3(4R - 3r)}{(R-r)^2} \right\} = \frac{h \pi}{4} \cdot \frac{R^4 - 4Rr^3 + 3r^4}{(R-r)^2} \end{aligned}$$

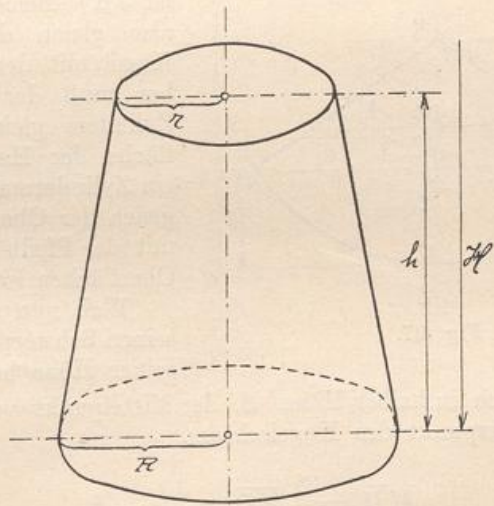


Fig. 96.

$$\begin{aligned} (R^4 - 4Rr^3 + 3r^4) : (R^2 - 2Rr + r^2) &= R^2 + 2Rr + 3r^2 \\ - R^4 \mp 2R^3r \pm R^2r^2 & \\ \hline 2R^3r - 4Rr^3 - R^2r^2 + 3r^4 & \\ - 2R^3r \mp 4R^2r^2 \pm 2Rr^3 & \\ \hline 3R^2r^2 - 6Rr^3 + 3r^4 & \\ - 3R^2r^2 \mp 6Rr^3 \pm 3r^4 & \\ \hline \emptyset & \\ x = \frac{h \pi}{4} \cdot \frac{R^2 + 2Rr + 3r^2}{R^2 + Rr + r^2} & \dots \dots \dots (67) \end{aligned}$$



Zur Auflösung der Aufgabe müssen zunächst die Inhalte von Kugelsektor und von Kalotte gefunden werden. Der Sektor kann aus unendlich vielen Pyramiden, deren Grundflächen die Oberfläche der Kalotte bilden und deren Spitzen in  $O$  liegen, zusammengesetzt gedacht werden. Mithin wird sein

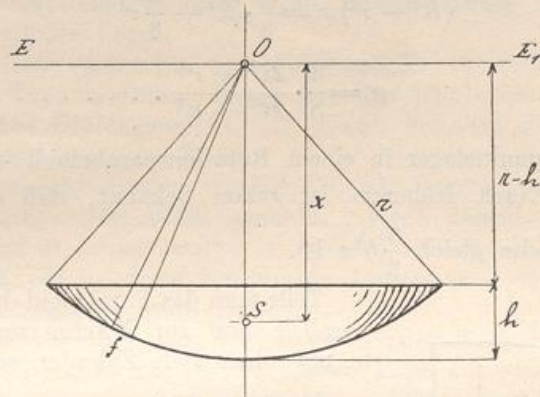


Fig. 98.

Inhalt  $J_1 = 2r\pi h \cdot \frac{r}{3} = \frac{2}{3}\pi r^2 h$ . — Der Inhalt der Kalotte ist dann

$$\begin{aligned}
 J_2 &= \frac{2}{3}\pi r^2 h - [r^2 - (r-h)^2] \pi \cdot \frac{r-h}{3} \\
 &= \frac{2}{3}\pi r^2 h - (r^2 - r^2 + 2rh - h^2) \frac{\pi}{3} (r-h) \\
 &= \frac{2}{3}\pi r^2 h - \frac{2}{3}\pi r^2 h + \frac{2}{3}\pi r h^2 + \frac{\pi r h^2}{3} - \frac{\pi}{3} h^3 \\
 J_2 &= \pi r h^2 - \frac{\pi}{3} h^3 = \frac{\pi h^2}{3} (3r - h)
 \end{aligned}$$

Demnach ist

$$\begin{aligned}
 \frac{\pi h^2}{3} (3r - h) x &= \frac{2}{3}\pi r^2 h \cdot \frac{3}{8} (2r - h) - \frac{r^2 - (r-h)^2}{3} \pi (r-h) \cdot \frac{3}{4} (r-h) \\
 h(3r - h) x &= \frac{3}{4} r^2 (2r - h) - (2r - h) \cdot \frac{3}{4} (r-h)^2 \\
 x &= \frac{3}{4} \cdot \frac{(2r - h) \cdot [r^2 - (r-h)^2]}{h(3r - h)} = \frac{3}{4} \cdot \frac{(2r - h)(2rh - h^2)}{h(3r - h)} \\
 x &= \frac{3}{4} \cdot \frac{(2r - h)^2}{3r - h} \dots \dots \dots (69)
 \end{aligned}$$

Für eine Halbkugel wird  $h = r$ , daher  $x = \frac{3}{4} \cdot \frac{(2r - r)^2}{3r - r}$

$$x = \frac{3}{8} r \dots \dots \dots (70)$$

Für eine hohle Halbkugel mit den Radien  $R$  und  $r$  gilt

$$\left(\frac{2}{3} \pi R^3 - \frac{2}{3} \pi r^3\right) x = \frac{2}{3} \pi R^3 \cdot \frac{3}{8} R - \frac{2}{3} \pi r^3 \cdot \frac{3}{8} r$$

$$(R^3 - r^3) x = \frac{3}{8} \cdot R^4 - \frac{3}{8} r^4$$

$$x = \frac{3}{8} \cdot \frac{R^4 - r^4}{R^3 - r^3} \dots \dots \dots (71)$$

118. Schwerpunktlager in einem Rotationsparaboloid. — Fig. 99.

Auflösung: Nach früherem ist schon bekannt, daß der Inhalt eines Rotationsparaboloides gleich  $\frac{\pi}{2} b^2 a$  ist.

Teilt man das Paraboloid durch zur  $Y$  Achse parallele und zur  $X$  Achse senkrechte Ebenen in unendlich viele Zylinder, so gilt

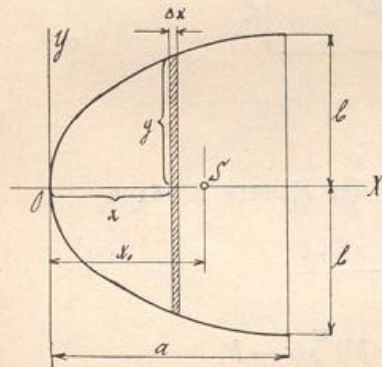


Fig. 99.

$$\Sigma [(y^2 \pi \cdot \Delta x) \cdot x] = \frac{\pi}{2} b^2 a \cdot x_0$$

$$\Sigma (2 p x^2 \cdot \pi \cdot \Delta x) = \frac{\pi}{2} b^2 a \cdot x_0$$

$$2 p \pi \cdot \Sigma (x^2 \cdot \Delta x) = \frac{\pi}{2} b^2 \cdot a \cdot x_0$$

Da  $b^2 = 2 p a$  ist, wird

$$\frac{b^2}{a} \pi \cdot \Sigma (x^2 \cdot \Delta x) = \frac{\pi}{2} b^2 a x_0$$

Die Summe  $x^2 \cdot \Delta x$  ist zu bilden von  $x=0$  bis  $x=a$ . — Zu diesem Ende werde eine quadratische Pyramide, Fig. 100, deren Basis die Seite  $a$  hat und deren Höhe  $a$  ist, gedacht. Wird sie in der Entfernung  $x$  und in der Entfernung  $x + \Delta x$  von der Spitze durch zur Basis parallele Ebenen geschnitten, so entsteht zwischen denselben ein kleiner Körper vom Inhalte  $x^2 \cdot \Delta x$ . — Denkt man sich die ganze Pyramide aus lauter solchen kleinen Körpern gebildet, so wird

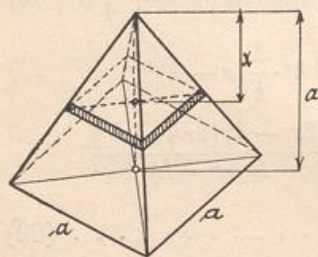


Fig. 100.

$$\Sigma (x^2 \cdot \Delta x) = a^2 \cdot \frac{a}{3} = \frac{a^3}{3}$$

Daher wird

$$\frac{b^2}{a} \cdot \pi \cdot \frac{a^3}{3} = \frac{\pi}{2} \cdot b^2 \cdot a \cdot x_0$$

$$\frac{1}{3} a = \frac{1}{2} x_0 \text{ oder}$$

$$x_0 = \frac{2}{3} a \dots \dots \dots (72)$$